

Rappels de la semaine dernière

Def (plats / fermés)

$$M = (E, \mathcal{S}) \quad A \subseteq E$$

$$\bullet \text{cl}(A) = \{x \in E \mid \text{rg}_M(A) = \text{rg}_M(A \cup \{x\})\}$$

clôture

$$\bullet A \text{ est plat si } A = \text{cl}(A)$$

est plat si

$$\forall x \in E \setminus A$$

$$\text{rg}(A \cup \{x\}) > \text{rg}(A)$$

Rac: Def. alternative des matroïdes avec les plats

↳ cf. ci-dessous

Def:

$$\forall M: A \subseteq E, \mathcal{M} = (E, \mathcal{S}),$$

$$\text{rg}_M(A) = \max \{ \text{card}(\mathcal{S}_A) \mid \left. \begin{array}{l} \mathcal{S}_A \in \mathcal{S} \\ \mathcal{S}_A \subseteq A \end{array} \right\}$$

$$\text{cor}_M(A) = \text{rg}(\mathcal{M}) - \text{rg}(A)$$

Rac: \emptyset est plat si $\forall x \in E, \{x\} \in \mathcal{S}$

Exemple de plats sur les matroïdes de la somme directe

RAPPELS

Exemple: matroïdes linéaires

V es sur K , $E \subset V$, $|E| < \infty$

$\mathcal{K} := \{E, \mathcal{I}\} \rightarrow$ familles libres de E

Un matroïde écomple \bar{a} un matroïde linéaire est dit représentable sur K .

$\bar{A}CE$ est plat si A est un ens. de vecteurs ds un esr fixé

Exple: $V = \mathbb{R}^2$, $E =$

$\mathcal{I} = \{a, b, c, d, \emptyset, ab, ad, bc, bd, cd\}$

Les plats de \mathcal{I} sont

$\bar{\mathcal{I}} = \left\{ \frac{abcd}{\frac{1}{E}}, b, d, ac, \emptyset \right\}$

RAPPELS

Exemple: Matroïdes uniformes

Soit $E = \{1, \dots, m\}$ et $r \in \mathbb{N}$

On définit le matroïde uniforme $\mathcal{U}_{r,m} := (E, \mathcal{I})$

où $\mathcal{I} = \{I \subseteq E \mid |I| \leq r\}$

Aut plat r

$\forall x \in E \setminus A$

$rg(A \cup \{x\}) > rg(A)$

Soit $A \subseteq E$ et $x \in E \setminus A$

Si $|A| < r$, $|A \cup \{x\}| \leq r$

et $rg(A \cup \{x\}) > rg(A)$

donc A plat

Si $|A| = r$, $rg(A) = r = rg(A \cup \{x\})$

Conclusion: les plats sont $\{A \mid |A| \leq r\} \cup E$

Exemple: $\mathcal{U}_{2,4}$

$E = \{1, 2, 3, 4\}$

$\mathcal{I} = \{\emptyset, 1, 2, 3, 4, 12, 13, 14, 23, 24, 34\}$

$\mathcal{I} = \{\emptyset, 1, 2, 3, 4, 1234\}$

$\{1, 2\}$ non plat car $rg(\{1, 2\}) = rg(\{1, 2, 3\}) = 2$

RAPPELS

Exemple: Matroïdes graphiques

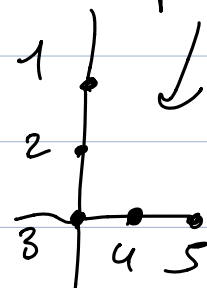
Graphes $G=(V,E) \sim \mathcal{M}(H: (E, \mathcal{I}))$

où E = arêtes des graphes
 \mathcal{I} = forêts de E

Bases = {arbres couvrants de G }

Intersection avec plan

ds \mathbb{R}^3 ?

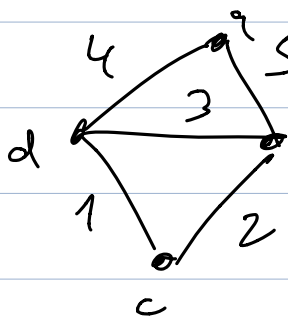


est plat si

$\forall x \in E \setminus A$

$\text{rg}(A \cup \{x\}) = \text{rg}(A)$

Expl: (Björner)



$$\begin{matrix}
 & 1 & 2 & 3 & 4 & 5 \\
 a & 0 & 0 & 0 & 1 & 1 \\
 b & 0 & 1 & 1 & 0 & 1 \\
 c & 1 & 1 & 0 & 0 & 0 \\
 d & 1 & 0 & 1 & 1 & 0
 \end{matrix}$$

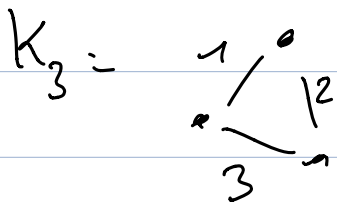
Bases = $\{ \emptyset, 1, 2, 3, 4, 5, 15, 24, 123, 345, 12345 \}$

• Quand on ajoute une arête, on ne crée pas de boucles, quelle soit l'arête ajoutée

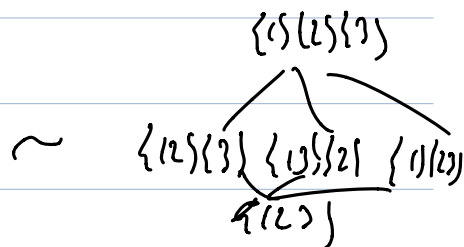
no les plats sont obtenus en prenant des boucles complètes et des boucles sur lesquelles il n'y a que au moins deux arêtes

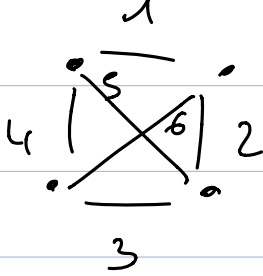
Expl: Plats de K_n : $K_1 = \bullet \quad \{ \emptyset \} = \mathcal{F}$

$K_2 = \bullet \text{---} \bullet \quad \{ \emptyset, 1 \} = \mathcal{F}$



$\mathcal{F} = \{ \emptyset, 1, 2, 3, 123 \}$



$K_4 =$ 

$$\mathcal{F} = \{ \emptyset, 1, 2, 3, 4, 5, 6, 13, 24, 56, 125, 236, 345, 146, 123456 \}$$

$$\text{rg}(\mathcal{F}) = 3$$

Bijection partition $\pi \leftrightarrow$ plat \mathcal{P}

Parts de π = composantes connexes de $K_n|_{\mathcal{P}}$

La partition des sommets suffit à caractériser le plat parce que le plat doit avoir toutes les arêtes d'une comp. connexe (sinon, celle qui n'a pas fait une seule composante)

Def. alternative d'un matroïde

Def (matroïde ententes de plats):

$$M = (E, \mathcal{F})$$

$$I_1 = E \in \mathcal{F}$$

$$- F, F' \in \mathcal{F} \Rightarrow F \cap F' \in \mathcal{F}$$

- (axiome de couverture) Si $F \in \mathcal{F}$ et $x \in E \setminus F$,

$$\exists! F' \in \mathcal{F} \text{ tq } F \cup F' \text{ et } x \in F'$$

minimal pour
l'inclusion

(Baker)

(F3) Si F plat, $\{F_1, \dots, F_k\}$ l'ensemble des plats
qui couvrent F ,

alors $\{F_1 \setminus F, \dots, F_k \setminus F\}$ partition de $E \setminus F$

Pourquoi l'axiome de couverture et F_3 sont-ils \Leftrightarrow ?

Axiome de couverture $\Rightarrow F_3$:

Si F est un plat et $F \subset F_i$, F_i plats, $\nexists F' \text{ tq}$
 $F \subsetneq F' \subsetneq F_i$

$\mathcal{M}_F (F_1 \setminus F, \dots, F_n \setminus F)$ est une partition de $E \setminus F$

• Étape 1: \mathcal{M}_F si $x \in E \setminus F$, $\exists i \text{ tq } x \in F_i$

C'est l'axiome de couverture

• Étape 2: \mathcal{M}_F $F_i \cap F_j = F$

Par l'absurde, si ce n'était pas le cas,

$\exists F' \text{ tq } F_i \cap F_j = F' \text{ et } F \subset F_i \Rightarrow F \subset F'$

F' est plat car les plats sont stables par

intersection \Rightarrow avec F_i et F_j couvre F

\Leftarrow Si $F \in \mathcal{Q}$ et $x \in E \setminus F$, $\exists F_i \text{ tq } x \in F_i \setminus F$
qui couvre F

Polynôme chromatique d'un graphe

Soit G graphe fini

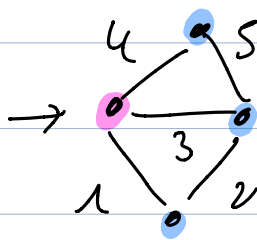
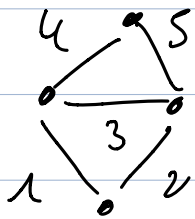
q -coloriage propre $f: V(G) \rightarrow \{1, \dots, q\}$ avec $f(u) \neq f(v)$
 si u, v incident

$\chi_G(q) = \#$ q -coloriage propre de G

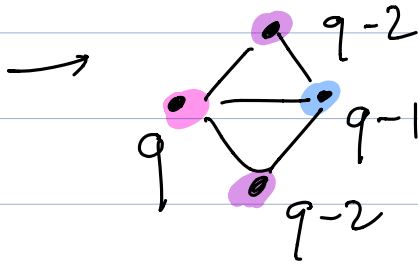
[Whitney 1932] = c'est un polynôme en q !
 de degré $|V(G)|$

Rq: $\chi_G(1) = 0$ si G a au moins une arête

Exemple:



→ 1 coloriage $\chi_G(1) = 0$
 → 2 coloriage $\chi_G(2) = 0$



$$= q(q-1)(q-2)^2 = \chi_G(q)$$

$$\chi_G(q) = q^4 - 3q^3 + 6q^2 - 4q$$

Algorithme de calcul

$$\chi_G(q) = \chi_{G/e}(q) - \chi_{G/e'}(q)$$

\uparrow suppression \uparrow contraction

$$\chi_{\square}(q) = \chi_{\square'}(q) - \chi_{\vdots}(q) = q(q-1)(q^2-3q+3) - q(q-1)^2$$

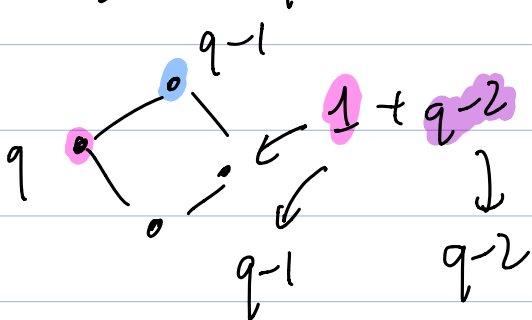
$$\chi_{E_n}(q) = q(q-1)^{n-1} = q(q-1)(q-2)^2$$

$$\chi_{C_n}(q) = \chi_{E_n}(q) - \chi_{C_{n-1}}(q)$$

$$\chi_{C_1}(q) = q \quad \chi_{C_2}(q) = q(q-1) \quad \chi_{C_3}(q) = q(q-1)(q-2)$$



$$\chi_{C_4}(q) = q(q-1)^3 - q(q-1)(q-2) = q(q-1) \left(\underbrace{q^2 - 2q + 1 - q + 2}_{(q^2 - 3q + 3)} \right)$$



$$\chi_{C_4}(q) = q(q-1) \left(\underbrace{q-1 + (q-2)^2}_{q^2 - 3q + 3} \right)$$

RANKS

$\Pi = (E, \mathcal{J}) \quad e \in E$

$\Pi \setminus e := (E - \{e\}, \mathcal{J}')$ $\mathcal{J}' = \{I \subseteq E - \{e\} \mid I \in \mathcal{J}\}$

$\Pi / e := (E - \{e\}, \mathcal{J}'')$ $\mathcal{J}'' = \{I \subseteq E - \{e\}, I \cup \{e\} \in \mathcal{J}\}$
 + compatibilité

def: $\Pi / X \setminus Y$ pour $X \cap Y = \emptyset, X, Y \subseteq E$

$\Pi \parallel (E - (X \cup Y), \mathcal{J})$ où $\mathcal{J} = \{I \subseteq E - (X \cup Y) \mid I \cup X \in \mathcal{J}\}$
 mineur

Question: Analogie dans le cas des matrices?

Oui!

Polygone caractéristique d'une matrice

def [Pota]: $\chi_{\Pi}(a) = \sum_{A \subseteq E} (-1)^{|A|} a^{\text{corank}(A)} = \chi_{\Pi/e} - \chi_{\Pi/e}$

Si e ni boucle, ni coboucle

où $\text{corank}(A) = r_{\mathcal{J}}(\Pi) - r_{\mathcal{J}}(A)$

Mettons les pieds dans le plat!

$\chi_{\Pi}(a) = \sum_{A \subseteq E} (-1)^{|A|} a^{\text{corank}(A)} = \chi_{\Pi/e} - \chi_{\Pi/e}$

n sommets
 a arêtes

2^n éléments

n éléments

graphe à
 n sommets et $(a-1)$
arêtes

graphe à
 $(n-1)$ sommets
et $\leq a$ arêtes

↳ complexité aussi exponentielle

$$\Leftrightarrow \chi_{\text{or}}(q) = \sum_{F \in \mathcal{F}} \mu(F) q^{\text{corank}(F)}$$

$\text{corank}(F) = \text{rg}(M) - \text{rg}(F)$

au $\mu(F) =$ no de Nöbirs du poset des plats

?

Question: Combien y a-t-il de plats???

↳ moralement, moins que d'éléments!

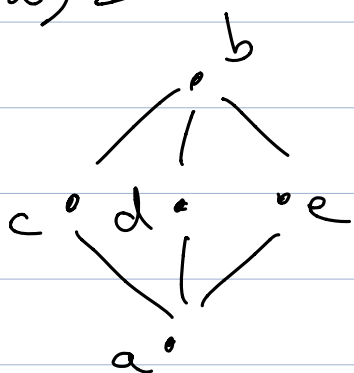
Def poset = ens + ordre partiel

Fonction de Möbius d'un poset

$$\mu(a, b) = -\sum_{a \leq x < b} \mu(a, x)$$

$$\mu(a, a) = 1$$

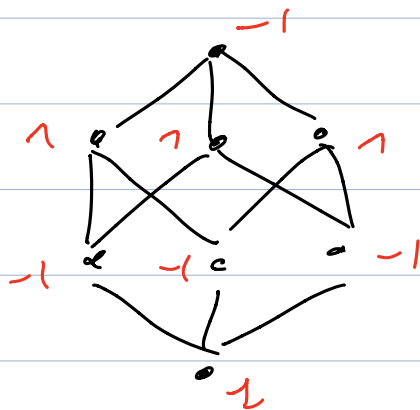
Exemple:



$$\mu(a, b) = -(\mu(a, c) + \mu(a, d) + \mu(a, e))$$

$$\text{or } \mu(a, c) = \mu(a, d) = \mu(a, e) = -\mu(a, a) = -1$$

d'où $\mu(a, b) = 3$

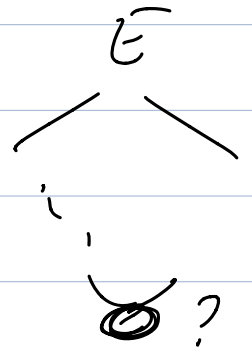


Autre exple:

Reve: Lien avec la topologie des poset,
 sans max ni min
 si P intervalle
 $\mu(P) = \chi(\vec{P})$
 caractéristique d'Euler

treillis des plats = $L(M)$

existence mat $xy \sim \text{PGCD}$ borne inf.
 non $xy \sim \text{PPCM}$ borne sup.



Ordre: inclusion

Ex: $U_{n+1, n+1} = \{ I \subset \{1, \dots, n\} \mid |I| \leq n \} = \mathcal{P}(n+1)$
 treillis boolean

Ex: plats de $k_n \Rightarrow \Pi_n$ treillis des partitions

- Def:
- L semi-modulaire si $\forall x, y \in L$ courant xy
 $x \vee y$ couvre à la fois x et y
 - L atomique si $\forall x, \exists x_1, \dots, x_k$ atomes tq $x = x_1 \vee \dots \vee x_k$
 - L géométrique si L semi-modulaire et atomique

[Birkhoff]: tt treillis géométrique est de la forme $L(M)$, pour M matricielle

(et tout $L(M)$ est un treillis géométrique)

Preuve: Stanley p 36 $M = (A, \sigma) \rightarrow \sigma = \{ I \subseteq A : \text{rk}(v_I) = \#I \}$
 atomes du treillis

Rq: Si M est simple, $L(M)$ détermine M

pas de x tq $\sigma(\{x\}) = 0$
 pas de x, y tq $\sigma(\{x\}) = \sigma(\{y\}) = 1$
 $\sigma(\{x, y\}) = 2$

Polynôme caractéristique d'une matrice

def [Pota]: $\chi_M(q) = \sum_{A \subseteq E} (-1)^{|A|} q^{\text{corank}(A)} = \sum_{n \in \mathbb{N}} \chi_n e^{-\chi_n k}$

$\Leftrightarrow \chi_M(q) = \sum_{F \in \mathcal{F}} \mu(F) q^{\text{corank}(F)}$ $\chi_M - \chi(F)$

où $\mu(F) = \sum_{P \in \mathcal{P}} \text{Nöbirs du poset des pbts}$

thé: Les trois définis sont \Leftrightarrow

Preuve: [Combinatorial geometries de White

chap. Zaslavski "the Möbius fct and the charact. polyn."]]

$\mu_n(x, F) = \mu_{L(n)}(x, F)$ def

Formule d'extension booleenne: $\mu(W, F) = \sum_{\substack{W \subseteq X \subseteq F \\ d(X) = F}} (-1)^{|X-W|}$
(Prop. 7.1.4)

voir ex 7.9

Preuve: avec algèbre d'incidence

$\mu(N) = \mu(N-e) - \mu(N/e)$ rien et pas un ishme
 avec prop. 7.1.4 $\mu(N) = \sum_{x \subseteq E} (-1)^{|x|}$

$$= \sum_{\substack{x \subseteq E-e \\ d(x) = \bar{e}}} (-1)^{|x|} - \sum_{\substack{e \in x \subseteq E \\ d(x) = e}} (-1)^{|x-e|}$$

$\mu(N-e)$ $= \mu(N/e)$

$\chi_n = \sum_{A \subseteq E} (-1)^{|A|} q^{\text{cor}(A)}$ avec prop. 7.1.4 par $w = \phi$
 $= \sum_{F \in \mathcal{F}}$ ✎

Prop 1 - $\chi_n(1) = \sum_{F \in \mathcal{F}} \mu(\emptyset, F) = 0$ dès que $|\mathcal{F}| > 1$

- $\chi_n(w) = \sum_{\substack{F \in \mathcal{F} \\ \text{rg}(F) = \text{rg}(N)}} \mu(F)$

$$\chi_n(q) = \chi_{n \setminus e}(q) - \chi_{N/e}(q)$$

\uparrow suppression \uparrow contraction

$2e \notin \mathcal{F}$
 qd e ni
 boucle
 ni
 ishme
do the base

• $n \setminus e := (E - \{e\}, \mathcal{F}')$ $\mathcal{F}' = \{I \subseteq E - \{e\}, I \in \mathcal{F}\}$

• $N/e := (E - \{e\}, \mathcal{F}')$ $\mathcal{F}' = \{I \subseteq E - \{e\}, I \cup \{e\} \in \mathcal{F}\}$

lien avec
graphes

$$\chi_G(q) = \sum_{\sigma \in \mathcal{C}(G)} q^{c(\sigma)}$$

c ← nombre de comp. connexes de G

Preuve: $\mathcal{I}(\sigma)$ = set of edges improperly colored

des ds matroïde de graphes \mathcal{M}

$$v(F) = \text{nbr de } \sigma \text{ tq } \mathcal{I}(\sigma) = F$$

car impropre un F donc cot

$$\sum_{F \in \mathcal{L}} v(F)$$

$$= 2^m \text{ as } \sum_{F \supseteq F'} v(F) = q^{c(F')}$$

+ inversion de Möbius $\text{as } \sum_{F \supseteq F'} \mu(F', F) q^{c(F)} = v(F')$

$$\sum_{a \leq b} f(b) = g(a) \Rightarrow f(a) = \sum_{a \leq b} \mu(a, b) g(b)$$

as $F' = \emptyset$ donc $q^0 \times \chi_G = \chi_G(q)$

Critical the (Capo-Rota 1970, the 16.1): Soit $E \subseteq K^m, m = \dim E, d \geq 0$. Le nbr de $f: K^m \rightarrow K^d$ tq $\forall p \in E, f(p) \neq (0, \dots, 0)$

$$\text{est } (q^d)^{m-m} p(m(E), q^d)$$

Arrangements d'hyperplans et treillis d'intersection

Def. Arrangement d'hyperplans (fini)

= ens. fini d'hyperplans affines ds $\mathbb{K}^n \cong V$

$$\hookrightarrow \{ \alpha \in \mathbb{K}^n \mid \alpha \cdot v = a \}$$

\uparrow
 fixé, non nul
 $\in \mathbb{K}$

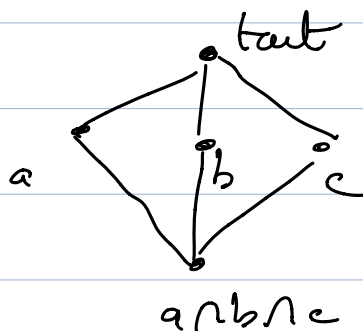
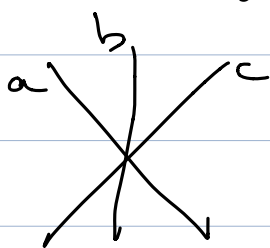
Ici, et **central** $\left(\bigcap_{H \in \mathcal{A}} H \neq \emptyset \right)$

(seul cas où $\mathcal{L}(\mathcal{A})$ treillis)

Treillis d'intersection: $\mathcal{L}(\mathcal{A}) = \{ \text{intersects} \neq \emptyset \text{ non vide d'hyperplans de } \mathcal{A} \}$

avec $x \leq y$ si $x \supseteq y$

Expl:



Gradué par $\dim(x)$

Prop: $\mathcal{A} \rightarrow \mathcal{N}_{\mathcal{A}}$ avec $\mathcal{B} \in \mathcal{I}(\mathcal{A})$ si \mathcal{B} linéairement indépendant

(E, \mathcal{B})
 \uparrow
 normales aux hyperplans

Polynôme caractéristique

Def:
$$\chi_{\mathcal{A}}(t) = \sum_{x \in \mathcal{L}(\mathcal{A})} \mu(x) t^{\dim(x)}$$
$$= t^n - (\#\mathcal{A})t^{n-1} + \dots$$

thm [Whitney, cité de (Stanley, §2.4)]

$$\chi_{\mathcal{A}}(t) = \sum_{\substack{B \subseteq \mathcal{A} \\ \bigcap_{H \in B} H \neq \emptyset}} (-1)^{\#B} t^{n - \text{rg}(B)}$$

thm [Zaslavsky, 75, cité de (Stanley, 2.5)]

Nbre de régions

$$r(\mathcal{A}) = (-1)^n \chi_{\mathcal{A}}(-1)$$

dans notre cas

Preuve: Par récurrence avec $H_0 \in \mathcal{A}$, $\mathcal{A}' = \mathcal{A} - \{H_0\}$
 $\mathcal{A}'' = \mathcal{A}^{H_0}$
 $\{H \mid H \subseteq H_0\}$

avec lemme: $\chi(ET) = \chi(ET') + \chi(ET'')$

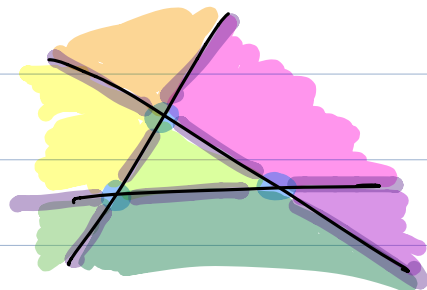
$$\chi_A(E) = \chi_{ET'}(E) - \chi_{ET''}(E) \quad \uparrow \quad \uparrow$$

régions traversées par H_0

→ Preuve alternative topologie intéressante avec caractéristique d'Euler

$$\chi(\mathbb{R}^m) = (-1)^m$$

↑
couvert par les régions



donc $\chi(x) = \sum_{\substack{y \in \mathcal{U}(A) \\ y \geq x}} (-1)^{\dim(y)} \chi(ET^y)$

+ formule d'inversion de Möbius [Rota]

$$\text{Si } \forall b \in P, g(b) = \sum_{a \leq b} f(a)$$

$$f(b) = \sum_{a \leq b} g(a) \mu_A(a, b)$$

$$\chi(ET^x) = \sum_{x \leq y} \chi(y) \mu_A(x, y)$$

("dim(y)
(-1)^{dim(y)})

par $x = \hat{0}$

$$(-1)^m \chi(A) = \sum_{y \in \mathcal{U}(A)} (-1)^{\dim(y)} \mu_A(y) = \chi_A(-1)$$

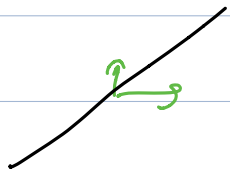
Arrangements graphiques

G graphe simple sur $\{1, \dots, n\}$
sans double arête, ni boucle

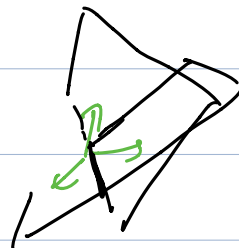
Def: arrangement graphique $x_i - x_j = 0 \quad \forall ij \in E(G)$
de \mathbb{K}^n

Si $G = K_n$ graphe complet, on retrouve
l'arrangement de hyper

Ex: $n=2$



$n=3$



the [Stanley 2.7]: $\int_{\mathcal{A}_G} (t) = \int_G (t)$

Preuve: avec $\mathcal{A}-(K_0) = \mathcal{A}_{G-e}$ et $\mathcal{A}^{H_0} = \mathcal{A}_{G/e}$

ou avec trillis des contractés d'un graphe

des

zy l'ajout d'une

arête ne crée pas de

circuit

[Stanley (26)]: $\chi_{\text{set}}(t) = t^{n-1} \chi_{\text{set}}(t)$

arrangement n dimensionnel de rayon

[Stanley (Cor 3.5)] Soit M une matrice de $g \times n$. Alors le polynôme caractéristique $\chi_M(t) = a_n t^n + \dots + a_0$

avec $(-1)^{n-i} a_i > 0 \quad \forall i$

↳ voir remarque 4

Preuve: C'est une application du théorème de Weisner:

Theorem 3.9. Let L be a finite lattice with at least two elements and with Möbius function μ . Let $\hat{0} \neq a \in L$. Then

(25)

$$\sum_{x: x \vee a = \hat{1}} \mu(x) = 0.$$

+ référence par les triangles géométriques, sachant que dans ce cas, $x \vee a = \hat{1} \Leftrightarrow x = \hat{1}$ ou x co-atome

$x \leq \hat{1}$ et $a \not\leq x$

Tableau final

Matroïde graphique

Matroïde M

Treillis des flats

Grphe

Treillis des
contractions

arrangement
graphique

matroïde de
normales aux
hyperplans

Arrangements d'hyperplans
Treillis d'intersection

Matroïdes

Matroïdes
représentables

Matroïdes
graphiques

(en vrai, plus tôt

Remarques finales, (hors sujet)

Étude des mailles des plats à l'origine de la
théorie de \mathbb{Z} -décomposabilité (Björner)

+ Étude de l'homologie à motivé CM des \mathbb{S}^1
[Bardavsky, Björner-Garsia-Stanley]

Base cohomologie donnée par les NBC

cf. ref Stanley

+ Björner 1990

"Homology and shellability of matroids
and geometric lattices"

Interprétation topologique de $\chi_n(-1)$? $\chi_n(-1) = g(\hat{0})$

Inv. Möbius

$$f(x) = \sum_{y \geq x} g(y), \forall x \in P$$

$$g(x) = \sum_{y \geq x} \mu(x, y) f(y), \forall x \in P$$

avec $g(x) = \sum_{x \leq y} \mu(\hat{0}, y) \underbrace{(-1)^{\sigma(\hat{0}) - \sigma(y)}}_{f(y)}$

d'où $f(x) = \sum_{y \geq x} g(y) = (-1)^{\sigma(\hat{0}) - \sigma(x)}$

A-t-on $\chi_n(-1) = \mu(\hat{0}, \hat{1}) \times (-1)^{d?}$ Non

Si $\Pi = \Pi_n$, $\chi_n(g) = \sum_{P \in \Pi_n} \mu(P) (-1)^{\text{nb parts}(P) - 1}$

$$\chi_{\Pi_n}(k) = (k-1)(k-2) \dots (k-n+1)$$

$$\mu(\Pi_n) = \text{we}(n) = \chi_{\Pi_n}(0)$$

$$\chi_n(-1) = (-1)^{n-n} \chi_A(-1) = (-1)^n \chi(A)$$

Reprends
preuve $\chi(A)$

$$\chi(x) := \sum_{x \leq y} f(y) \mu_A(x, y) \text{ avec } f(y) = (-1)^{\sigma(\hat{0}) - \sigma(y)}$$

$$\chi_n(-1) = \chi(\hat{1})$$

$$\sum_{x \leq y} g(y) = (-1)^{\sigma(\hat{0}) - \sigma(x)}$$